

## Навигация

<b>Глава VII. Широтно-импульсная модуляция .....</b>	<b>2</b>
7.1. Понятие широтно-импульсной модуляции .....	2
7.2. Выбор частоты импульсов.....	5
7.3. Реализация широтно-импульсной модуляции на базе микроконтроллеров серии 1986BE9х.....	7
7.3.1. Задание требуемой частоты импульсов.....	9
7.3.2. Инициализация таймера в режиме широтно-импульсной модуляции.....	10
7.3.3. Мертвая зона .....	16
Описание программных проектов .....	20
Задачи для самостоятельной работы.....	20
Контрольные вопросы .....	21

## ГЛАВА VII

### ШИРОТНО-ИМПУЛЬСНАЯ МОДУЛЯЦИЯ

#### Цель работы:

- получение представлений о процессе широтно-импульсной модуляции;
- получение навыков регулирования мощности с использованием цифровых сигналов;
- реализация широтно-импульсной модуляции на базе микроконтроллера.

#### Оборудование:

- отладочный комплект для микроконтроллера 1986BE92У;
- программатор-отладчик J-LINK (или аналог);
- модуль расширения для работы с микроконтроллерной техникой;
- цифровой мультиметр;
- персональный компьютер.

#### Программное обеспечение:

- операционная система Windows 7 / 8 / 10;
- среда программирования Keil  $\mu$ Vision MDK-ARM 5.24;
- драйвер программатора J-LINK;
- примеры кода программ.

#### 7.1. Понятие широтно-импульсной модуляции

При проектировании систем управления нередко появляется задача регулирования мощности, подводимой к некоторой нагрузке. Это позволяет, например, изменить яркость свечения светодиода или лампы накаливания, скорость вращения вала электродвигателя, температуру электронагревателя.

На рисунке 7.1 приведена упрощенная функциональная схема управления мощностью, подводимой к нагрузке.

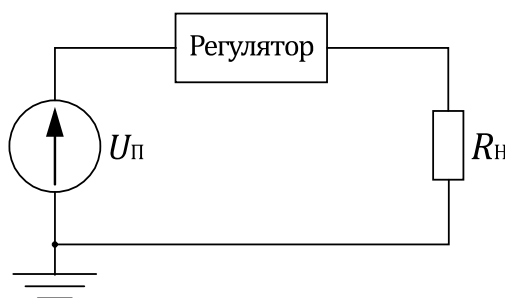


Рисунок 7.1 – Схема регулирования мощности, подводимой к нагрузке

Схема состоит из трех элементов: источника питания постоянного тока  $E_p$ , сопротивления нагрузки  $R_n$  (эквивалент управляемого устройства) и регулятора. Т.е. источник питания вырабатывает для нагрузки некоторую мощность, а регулятор позволяет ее изменять.

Регулятор может быть реализован по-разному. Самым очевидным вариантом является использование полевого транзистора с управляющим р-п переходом. В этом случае мощность, подводимая к нагрузке, будет определяться напряжением на затворе

транзистора; этим напряжением можно управлять, например, с помощью цифро-аналогового преобразователя.

Но недостатком такой схемы является низкий КПД, особенно при малой относительной мощности. Дело в том, что мощность, невостребованная нагрузкой, выделяется на транзисторе в виде тепла. Поэтому если мощность на нагрузке должна быть примерно равна мощности источника, то рассеивания на транзисторе практически не происходит, и схема работает с высоким КПД. Если же мощность на нагрузке должна быть значительно меньше мощности источника, то разность этих мощностей будет рассеиваться на транзисторе, и КПД схемы будет низким.

Альтернативным способом регулирования мощности является **широтно-импульсная модуляция (ШИМ, англ. Pulse-Width Modulation, PWM)**. Идея способа заключается в подаче на нагрузку  $R_H$  прямоугольных импульсов длиной  $\tau$  и периодом  $T$  (рисунок 7.2).

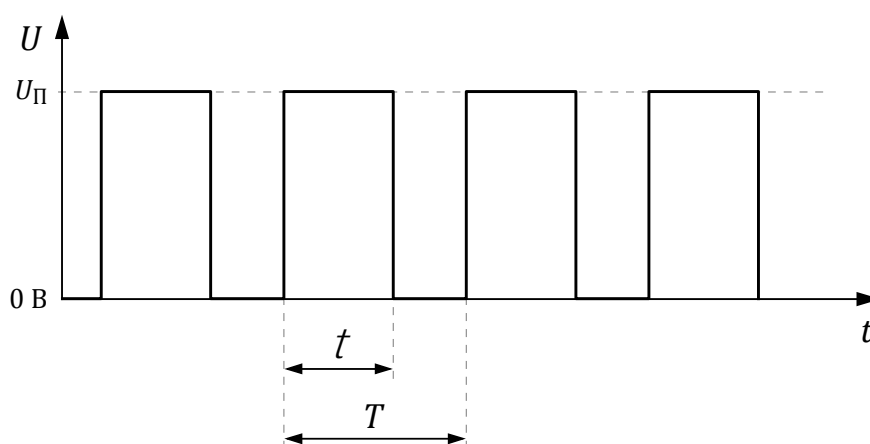


Рисунок 7.2 – Прямоугольные импульсы

Для этого используют транзистор, работающий в **ключевом режиме** и обеспечивающий только два устойчивых состояния: открытое и закрытое. При этом нагрузка будет как бы периодически подключаться к источнику питания  $U_H$  на время  $\tau$ , а затем отключаться от него на оставшуюся часть периода  $(T - \tau)$ . Тогда средняя мощность  $P_H$ , подводимая к нагрузке, будет определяться формулой:

$$\bar{P}_H = \frac{U_H^2}{R} \times \frac{\tau}{T}. \quad (7.1)$$

В таком случае получается, что, **изменяя длительность (ширину) импульсов, можно регулировать среднюю мощность, потребляемую нагрузкой**: чем выше длительность импульсов  $\tau$ , тем выше мощность  $P_H$ .

Отношение длительности импульсов  $\tau$  к их периоду  $T$  называют **коэффициентом заполнения** (англ. Duty Cycle); его обычно выражают в процентах:

$$D = \frac{\tau}{T} \times 100\%. \quad (7.2)$$

Коэффициент заполнения показывает, какой процент максимальной мощности потребляется нагрузкой.

Существует также сходный по смыслу термин «скважность». **Скважность** – это отношение периода следования импульсов  $T$  к длительности импульсов  $\tau$ , т.е. величина, обратно-пропорциональная коэффициенту заполнения:

$$S = \frac{T}{\tau} = \frac{1}{D}. \quad (7.3)$$

Скважность характеризует расстояние между импульсами, как бы величину скважин сигнала.

В большинстве случаев использование коэффициента заполнения практически более удобно, чем скважности, поскольку его относительно изменение происходит в диапазоне от 0 до 1, тогда как соответствующая скважность изменяется от бесконечности до 1.

На рисунках 7.3а и 7.3б для примера показаны осциллограммы импульсов с разными коэффициентами заполнения.

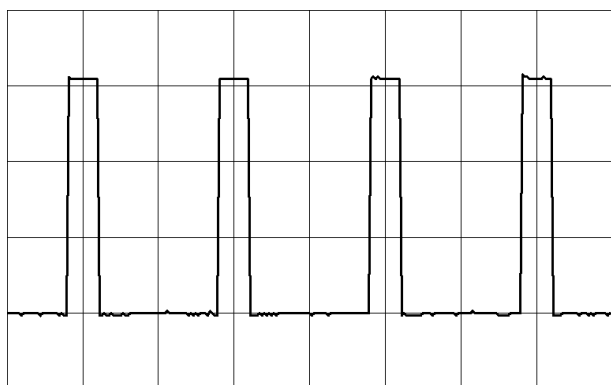


Рисунок 7.3а – Осциллограмма импульсов с низким коэффициентом заполнения ( $D = 20\%$ ,  $S = 5.00$ )



Рисунок 7.3б – Осциллограмма импульсов с высоким коэффициентом заполнения ( $D = 70\%$ ,  $S = 1.43$ )

Широтно-импульсная модуляция обеспечивает **высокий КПД** за счет того, что транзистор, используемый для коммутации, работает в режиме ключа:

- когда он закрыт (т.е. имеет очень высокое внутренне сопротивление), ток через него практически не течет и мощность, соответственно, не потребляется;
- когда он открыт (т.е. имеет очень малое внутренне сопротивление), ток течет через него беспрепятственно, и мощность на нем не рассеивается в виде тепла.

Для примера выполним расчет КПД системы для элементов модуля расширения: транзистора КП505А ( $R_{откр.} = 0.5 \text{ Ом}$ ) и лампы накаливания ( $U_{лампы} = 3.5 \text{ В}$ ,  $I = 0.2 \text{ А}$ ).

Сразу нужно отметить, что подключать лампу (или иную нагрузку) напрямую к микроконтроллеру нельзя, т.к. цифровые линии микроконтроллеров серии 1986ВЕ9х способны вырабатывать ток до 6 мА, т.е. многократно меньше требуемого значения. Поэтому подключать нагрузку следует через N-канальный полевой транзистор с общим стоком, затвор которого управляется микроконтроллером (рисунок 7.4).

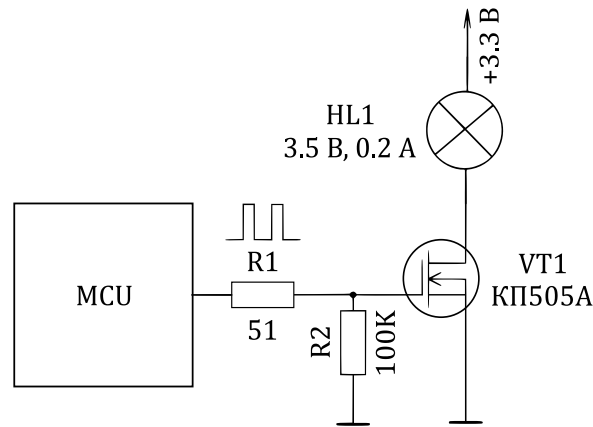


Рисунок 7.4 – Схема подключения лампы накаливания к микроконтроллеру

КПД ( $\eta$ ) определяется, как отношение полезной мощности системы к затраченной, т.е. мощности, потребляемой лампой ( $P_{\text{лампы}}$ ), к сумме этой мощности и мощности, рассеиваемой на транзисторе ( $P_{\text{транз.}}$ ).

Мощность, потребляемая лампой при напряжении питания  $U_{\text{п}} = 3.3 \text{ В}$ , будет равна:

$$P_{\text{лампы}} = I \times (U_{\text{п}} - U_{\text{транз.}}) = I \times (U_{\text{п}} - I \cdot R_{\text{откр.}}) = 0.2 \text{ А} \times (3.3 \text{ В} - 0.2 \text{ А} \times 0.5 \text{ Ом}) = 0.64 \text{ Вт}.$$

Мощность, рассеиваемая на транзисторе, составит:

$$P_{\text{транз.}} = I \times U_{\text{транз.}} = I^2 \times R_{\text{откр.}} = (0.2 \text{ А})^2 \cdot 0.5 \text{ Ом} = 0.02 \text{ Вт}.$$

Тогда КПД системы будет равен:

$$\eta = \frac{P_{\text{лампы}}}{P_{\text{лампы}} + P_{\text{транз.}}} \times 100\% = \frac{0.64 \text{ Вт}}{0.64 \text{ Вт} + 0.02 \text{ Вт}} \times 100\% \approx 97\%.$$

Следует отметить, что такой КПД будет сохраняться при любой скважности импульсов, и, следовательно, при любой требуемой средней мощности, подводимой к нагрузке. Но с ростом частоты следования импульсов КПД будет снижаться.

## 7.2. ВЫБОР ЧАСТОТЫ ИМПУЛЬСОВ

Выбор частоты следования импульсов – важный аспект реализации широтно-импульсной модуляции. Её следует выбирать из определенного диапазона.

С одной стороны, **слишком низкая частота** может стать причиной следующих проблем:

1. **Пульсация тока.** Если рассмотреть предельный случай, когда частота следования импульсов будет равна 1 Гц, то невооруженным глазом будут заметны колебания мощности на нагрузке: лампа или светодиод, к примеру, будут мигать, вал двигателя – дёргаться; нагревательные элементы будут быстро выходить из строя из-за частых температурных колебаний. Все это, очевидно, неприемлемо.

Если касаться освещения, то интересно отметить, что человеческий глаз способен замечать колебания до 50 Гц прямым зрением (если рассматривать объект в упор) и до 72 Гц – периферийным (если смотреть вдоль объекта). В экспериментах, однако, надо

иметь в виду, что лампа накаливания **инертна**: нити накала требуется время на нагрев и остывание, поэтому колебания будут незаметны и на меньших частотах. При этом нужно понимать, что даже неразличимые глазом световые пульсации, тем не менее, регистрируются сетчаткой и мозгом, и могут приводить к усталости глаз и повышенной утомляемости человека в целом. Согласно последним исследованиям, негативное влияние световых пульсаций полностью исчезает на частотах более 300 Гц. [x]

**2. Переполнение аппаратных таймеров.** Забегая вперед необходимо сказать, что широтно-импульсная модуляция на базе микроконтроллеров реализуется с помощью аппаратных таймеров, имеющих ограниченную разрядность. Период модуляции должен укладываться в период перезагрузки таймера. В принципе, за счет предделителя период перезагрузки задается достаточно гибко, но он определяет и верхнюю границу допустимой частоты, поэтому при разработке программы это нужно обязательно иметь в виду. Данный аспект будет подробно рассмотрен в разделе 7.3.1.

**3. Шумы вибраций.** При управлении двигателями с использованием широтно-импульсной модуляции на частоте, соответствующей слышимому частотному диапазону человека (до ~20 КГц), могут возникать шумы, похожие на свист; они обусловлены вибрацией обмоток. Такие шумы являются сильным раздражителем слуха, поэтому если конечное устройство планируется использовать в постоянной близости с человеком, то лучше бы использовать большую частоту импульсов.

С другой стороны, **слишком высокая частота** может привести к ряду других проблем:

**1. Дополнительные потери мощности на транзисторе.** Между затвором и истоком транзистора всегда имеется паразитная емкость, не позволяющая транзистору мгновенно открыться или закрыться: для этого емкость сначала должна зарядиться или разрядиться. Это означает, что прямоугольные импульсы на практике всегда являются **трапециевидными**. Процесс перезаряда емкости называют **переходным**, а режим работы транзистора в это время – **активным**. За время переходного процесса на транзисторе падает в среднем до половины напряжения питания, а, следовательно, рассеивается и до половины мощности.

Чем ниже частота импульсов, тем незначительнее часть периода, которую занимает переходной процесс. Но с ростом частоты время переходного процесса может стать соизмеримо с шириной импульсов; это приведет к большим потерям мощности на транзисторе: КПД упадет, а транзистор будет сильно греться.

Так, например, для транзистора КП505А при  $U_{зи} = 10$  В,  $U_{си} = 30$  В время открытия составляет 33 наносекунды, время закрытия – 180 наносекунд. С учетом специфики схемы модуля расширения (наличие пассивных элементов, напряжение питания 3.3 В) эти значения будут ниже – примерно 21 и 113 наносекунд соответственно. Эти данные позволяют сделать вывод, что если при коэффициенте заполнения  $D = 20\%$  период сигнала составит  $T = (21 \text{ нс} + 113 \text{ нс}) \cdot 100\%/D = 0.67 \text{ мкс}$ , т.е. если частота импульсов будет равна  $F \approx 1.5 \text{ МГц}$ , то фронты завалятся настолько, что импульсы станут треугольными (рисунок 7.5б); КПД в этом случае снизится до ~50%. Если использовать еще более высокую частоту или снизить коэффициент заполнения, то транзистор вовсе перестанет открываться: напряжение на затворе не будет успевать подниматься до порога открытия.

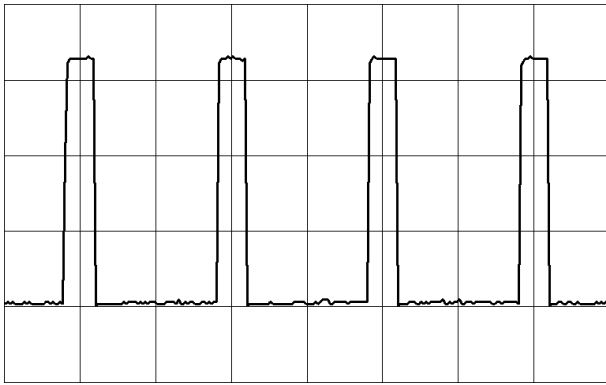


Рисунок 7.5а – Осциллограмма импульсов на истоке транзистора ( $F = 10$  КГц,  $D = 20\%$ )

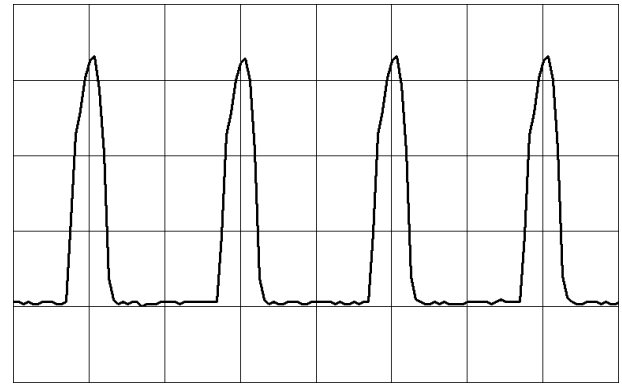


Рисунок 7.5б – Осциллограмма импульсов на истоке транзистора ( $F = 1.5$  МГц,  $D = 20\%$ )

**2. Снижение вариативности в выборе скважности.** Эта проблема также обусловлена возможностями аппаратных таймеров. Идея в том, что таймер подсчитывает тактовые импульсы, и в нужные моменты формирует фронты модулированного сигнала. Чем больше тактов приходится на период сигнала, тем больше вариантов для положения фронта и, соответственно, выбора скважности. Этот момент будет рассмотрен в разделе 7.3.1, а сейчас можно лишь отметить, что максимальная частота широтно-импульсной модуляции при тактовой частоте ядра 80 МГц и сохранении возможности задания коэффициента заполнения с шагом 1% составляет  $\sim 792$  КГц.

**3. Создание электрических помех в системе.** Широтно-импульсная модуляция высокой частоты может стать источником сильных электрических помех в системе.

Помехи – это отдельная тема, которой посвящен не один десяток книг. Сейчас же следует просто иметь в виду, что они – это одна из причин, по которой не следует использовать слишком высокую частоту импульсов.

Все перечисленные соображения необходимо учитывать при разработке системы с широтно-импульсной модуляцией. На практике же ее частоту выбирают из диапазона от 10 до 200 КГц.

### 7.3. РЕАЛИЗАЦИЯ ШИРОТНО-ИМПУЛЬСНОЙ МОДУЛЯЦИИ НА БАЗЕ МИКРОКОНТРОЛЛЕРОВ СЕРИИ 1986VE9х

Существует два способа реализации широтно-импульсной модуляции на базе микроконтроллеров: программный и аппаратный.

**Программный способ** сводится к тривиальному циклическому управлению линией ввода-вывода: для создания переднего фронта импульса на линии создается логическая единица, заднего – логический ноль. Длительность импульса и период сигнала могут быть организованы различными средствами, например, системным таймером.

Программная реализация ШИМ требует много ресурсов вычислительного ядра и обладает низкой точностью; она используется только при работе с устройствами, не имеющими встроенного ШИМ-контроллера. Данный способ не будет подробно рассматриваться по причине его нерациональности.

**Аппаратный способ** задействует для формирования модулированного сигнала таймера общего назначения. Таймеры позволяют генерировать импульсы с высокой точностью, и после инициализации работают полностью автономно, без участия ядра.

В микроконтроллеры серии 1986BE9х встроено **три таймера** общего назначения; каждый таймер имеет **четыре канала** для генерации модулированного сигнала (т.е. суммарно можно организовать до 12 каналов). **Для каждого из трех таймеров можно задать собственную частоту импульсов, а для каждого канала в пределах таймера – собственную скважность.** Кроме того, каждый канал имеет **два вывода**: прямой (*D*) и инверсный (*N*).

Идея заключается в том, после требуемой инициализации уровень напряжения на канале начинает определяться состоянием таймера. Для задания нужных параметров используются три регистра: уже знакомые нам *CNT* и *ARR*, а также регистр сравнения *CCR*. В простейшем случае реализации широтно-импульсной модуляции таймер инкрементируется от 0 до значения *ARR*, а для канала выбирается такой режим работы:

- $U_{CH} = 3.3 \text{ В}$  при  $CNT < CCR$ ;
- $U_{CH} = 0 \text{ В}$  при  $CCR \geq CNT \geq ARR$ .

Графическое представление этого процесса изображено на рисунке 7.6.

Из рисунка 7.5 должно стать очевидно, что период импульсов определяется значением регистра *ARR*, а скважность – значением регистра *CCR*. О том, как связать эти значения с конкретной частотой речь пойдет в следующем разделе.

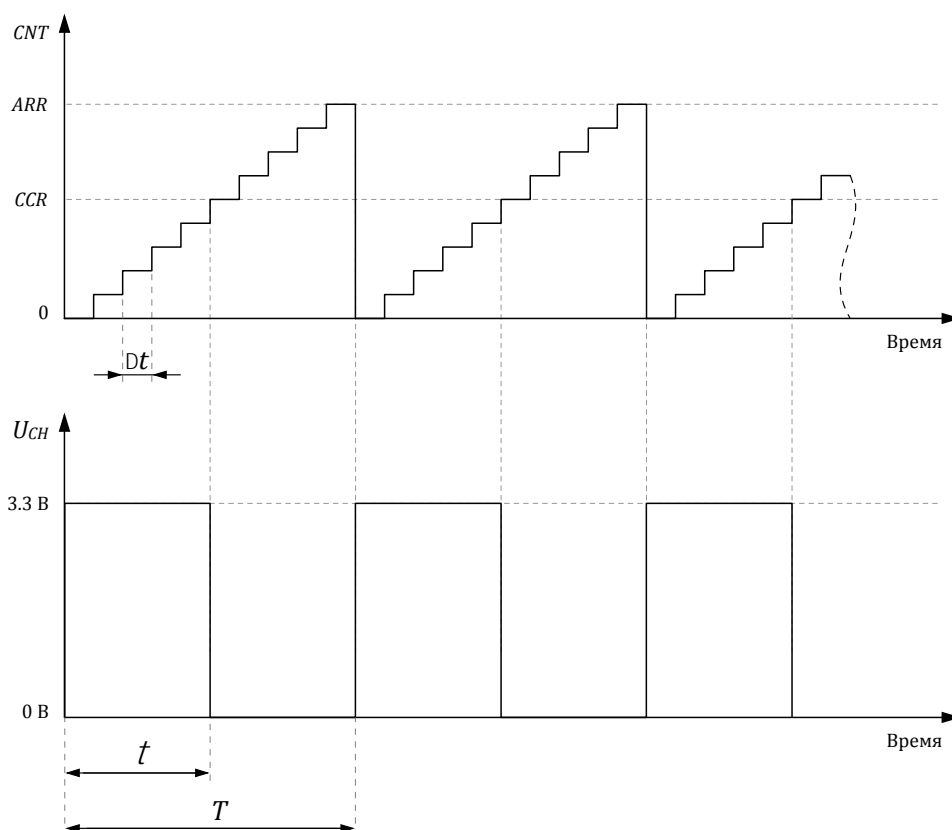


Рисунок 7.6 – Изменение напряжения на канале в зависимости от состояния таймера



### 7.3.1. Задание требуемой частоты импульсов

Частота импульсов определяется значениями двух регистров: предделителя тактовой частоты *PSG* и автоматической перезагрузки *ARR*. Метод расчета здесь может быть следующим.

С одной стороны, частота импульсов тривиально выражается через их период:

$$F = \frac{1}{T}. \quad (7.4)$$

С другой стороны, период импульсов  $T$  можно определить, как сумму отрезков времени  $\Delta t$ , требуемых на каждое изменение счетчика:

$$T = \Delta t \times (ARR + 1). \quad (7.5)$$

Обратите внимание, что количество временных отрезков на единицу больше, чем значение *ARR*, т.к. отсчет ведется с нуля.

Время  $\Delta t$  зависит от тактовой частоты ядра *SystemCoreClock* и выбранного предделителя *PSG*:

$$\Delta t = \frac{PSG + 1}{SystemCoreClock}. \quad (7.6)$$

Тут также следует помнить, что фактический предделитель тактовой частоты будет на единицу больше заданного.

Комбинируя формулы 7.4 – 7.6 можно получить такую зависимость:

$$F = \frac{SystemCoreClock}{(PSG + 1) \times (ARR + 1)}. \quad (7.7)$$

Используя формулу 7.7 можно найти требуемые значения *ARR* и *PSG* для получения произвольной частоты. Однако при этом получается уравнение с двумя неизвестными. К его решению можно подойти по-разному; один из способов – выразить из формулы 7.7 значение *ARR*:

$$ARR = \frac{SystemCoreClock}{F \times (PSG + 1)} - 1, \quad (7.8)$$

и рассчитать его для некоторого значения частоты при  $PSG = 0$ . Значение *ARR* ограничено разрядностью таймера –  $(2^{16} - 1) = 65\,535$ , поэтому если результат вычислений окажется больше указанного значения, то следует увеличить предделитель и выполнить повторный расчет. Например, если требуется обеспечить частоту импульсов  $F = 1$  КГц, то:

$$ARR = \frac{80 \times 10^6}{10^3 \times (0 + 1)} - 1 = 79\,999.$$

Полученное значение больше 65 535, поэтому необходимо увеличить **фактическое** значение предделителя по крайней мере в два раза ( $PSG = 1$ ), тогда

$$ARR = \frac{80 \times 10^6}{10^3 \times (1 + 1)} - 1 = 39\,999.$$

По формуле 7.7 также можно определить минимальную и максимальную частоту при заданном предделителе. **Минимальная частота** будет достигаться при максимальном значении периода, т.е. при  $ARR = 65\,535$ :

$$F_{min} = \frac{SystemCoreClock}{65\,536 \times (PSG + 1)}. \quad (7.9)$$

**Максимальная частота**, напротив, будет достигаться при минимальном значении периода, но здесь есть один нюанс: если установить значение  $ARR = 1$ , то для выбора коэффициента заполнения импульсов не останется вариантов: он сможет быть либо 0%, либо 100%. По этой причине при расчете максимальной частоты следует выбирать значение  $ARR$  так, чтобы обеспечить возможность задания заполнения с шагом хотя бы в 1%, т.е.  $ARR = 100$ :

$$F_{max} = \frac{SystemCoreClock}{101 \times (PSG + 1)}. \quad (7.10)$$

Ключевую формулу 7.8 нетрудно программно реализовать в виде макроса:

```
// Фактический предделитель тактовой частоты таймера TIMER1
#define TIMER1_PRESCALER (1 + 1)

// Требуемая частота широтно-импульсной модуляции (в Гц)
#define PULSE_FREQUENCY 1000

// Макрос для расчета периода импульсов в тактах таймера
#define PULSE_PERIOD(F) (uint16_t)(SystemCoreClock / \
    ((uint32_t)F * TIMER1_PRESCALER) - 1)
```

### 7.3.2. Инициализация таймера в режиме широтно-импульсной модуляции

Рассмотрим процесс инициализации **первого канала первого таймера**.

Инициализация таймера в режиме широтно-импульсной модуляции состоит из следующих шагов:

1. Включение тактирования.
2. Деинициализация.
3. Конфигурация таймера.
4. Конфигурация порта ввода-вывода.
5. Конфигурация каналов таймера.
6. Конфигурация линий каналов.
7. Конфигурация регистров сравнения.

**1, 2, 3. Включение тактирования, деинициализация и конфигурация таймера** – стандартные процедуры; они полностью идентичны приведенным в разделе 3.3.2. Особого внимания заслуживают лишь регистры предделителя тактовой частоты *PSG* и автоматической перезагрузки *ARR*, т.к. они непосредственно определяют частоту генерируемых импульсов:

```
// Включение тактирования таймера TIMER1
MDR_RST_CLK->PER_CLOCK |= (1 << RST_CLK_PCLK_TIMER1_Pos);
MDR_RST_CLK->TIM_CLOCK |= (1 << RST_CLK_TIM_CLOCK_TIM1_CLK_EN_Pos);

// Деинициализация таймера TIMER1
// (тело процедуры приведено в разделе 3.3.2)
TIMER_Reset(MDR_TIMER1);

// Предделитель тактовой частоты таймера TIMER1
MDR_TIMER1->PSG = TIMER1_PRESCALER - 1;

// Значение автоматической перезагрузки таймера
MDR_TIMER1->ARR = PULSE_PERIOD(PULSE_FREQUENCY);

// Общая конфигурация таймера
MDR_TIMER1->CNTRL =
    (0 << TIMER_CNTRL_CNT_EN_Pos)      // Работа таймера (пока отключен)
  | (1 << TIMER_CNTRL_ARRB_EN_Pos)     // Режим обновления регистра ARR (при перезагрузке)
  | (0 << TIMER_CNTRL_DIR_Pos)         // Направление счета (прямой счет)
  | (0 << TIMER_CNTRL_FDTS_Pos)        // Частота выборки (не используется)
  | (0 << TIMER_CNTRL_CNT_MODE_Pos)    // Режим счета (такт. импульсы с фикс. напр-ем)
  | (0 << TIMER_CNTRL_EVENT_SEL_Pos); // Триггер счета (тактовые импульсы)
```

**4. Конфигурация порта ввода-вывода** необходима, чтобы превратить линию в канал таймера. В соответствии с таблицей П.1, канал *TMR1\_CH1* соединен с линиями *PA1*, *PD1* и *PF6*. Можно выбрать любую из них, однако линии *PA1* и *PD6* использовать нежелательно, т.к. они выполняют функции дисплея и JTAG-интерфейса отладочной платы соответственно. Поэтому следует настроить линию *PF6* на работу в режиме альтернативной функции:

```
// Включение тактирования порта F
MDR_RST_CLK->PER_CLOCK |= (1 << RST_CLK_PCLK_PORTF_Pos);

// Конфигурация линии PF6 для работы в качестве канала таймера
MDR_PORTF->OE      |= (1 << 6); // Направление линии (вывод)
MDR_PORTF->FUNC    &= ~(3 << 12); // Сброс битов регистра FUNC
MDR_PORTF->FUNC    |= (2 << 12); // Функция линии (альтернативная)
MDR_PORTF->ANALOG  |= (1 << 6); // Режим работы линии (цифровой)
MDR_PORTF->PULL    &= ~(1 << 6); // Подтяжка к цепи питания (отключена)
MDR_PORTF->PULL    &= ~(1 << 22); // Подтяжка к земле (отключена)
MDR_PORTF->PD      &= ~(1 << 6); // Управление линией (драйвер)
MDR_PORTF->PD      &= ~(1 << 22); // Триггер Шмитта (отключен)
MDR_PORTF->PWR     |= (3 << 12); // Крутизна импульсов (высокая)
MDR_PORTF->GFEN    &= ~(1 << 6); // Цифровой фильтр (отключен)
```

**5. Конфигурация каналов таймеров** выполняется через набор регистров *MDR\_TIMERx->Chu\_CNTRL*, где *x* – номер таймера, *y* – номер канала (таблица 7.1).

Таблица 7.1 – Описание регистров MDR\_TIMERx-&gt;CHx\_CNTRL

№ битов	Функциональное имя битов	Описание
31...16	–	–
15	CAP_nPWM	Режим работы канала: 0 – широтно-импульсная модуляция; 1 – захват.
14	WR_CMPL	Флаг процесса записи данных в регистр CCR: 0 – запись данных завершена; 1 – запись данных в процессе.
13	ETREN	Остановка импульсов по сигналу на линии ETR: 0 – остановка запрещена; 1 – остановка разрешена.
12	BRKEN	Остановка импульсов по сигналу на линии BRK: 0 – остановка запрещена; 1 – остановка разрешена.
11...9	OCCM[2:0]	Формат выходного сигнала REF в режиме широтно-импульсной модуляции (таблица 7.2).
8	OCCE	Работа линии ETR: 0 – работа запрещена; 1 – работа разрешена.
7...6	CHPSC[1:0]	Предделитель частоты входного сигнала: 00 – предделитель отключен; 01 – / 2; 10 – / 4; 11 – / 8.
5...4	CHSEL[1:0]	Выбор события для фиксации счетчика в регистр CCR: 00 – передний фронт на конфигурируемом канале; 01 – задний фронт на конфигурируемом канале; 10 – передний фронт на других каналах (вариант 1); 11 – передний фронт на других каналах (вариант 2).
3...0	CHFLTR[3...0]	Фильтрация входного сигнала. Функция будет рассмотрена в главе VIII.

Из всех параметров регистра для реализации широтно-импульсной модуляции необходимо настроить лишь два: режим работы и формат сигнала REF:

```
// Конфигурация канала CH1 таймера TIMER1
MDR_TIMER1->CH1_CNTRL =
    (0 << TIMER_CH_CNTRL_CHFLTR_Pos) // Фильтрация входного сигнала (-)
  | (0 << TIMER_CH_CNTRL_CHSEL_Pos) // Событие для фиксации счетчика в регистр CCR (-)
  | (0 << TIMER_CH_CNTRL_CHPSC_Pos) // Предделитель частоты входного сигнала (-)
  | (0 << TIMER_CH_CNTRL_OCCE_Pos) // Использование сигнала ETR (-)
  | (6 << TIMER_CH_CNTRL_OCCM_Pos) // Формат выходного сигнала REF (6)
  | (0 << TIMER_CH_CNTRL_BRKEN_Pos) // Сброс по сигналу BRK (-)
  | (0 << TIMER_CH_CNTRL_ETREN_Pos) // Сброс по сигналу ETR (-)
  | (0 << TIMER_CH_CNTRL_CAP_NPWM_Pos); // Режим работы канала (ШИМ)
```

Формат выходного сигнала REF определяет алгоритм работы канала. Все возможные форматы приведены в таблице 7.2.

Таблица 7.2 – Форматы сигнала *REF*

Номер формата	Значение выходного сигнала	
	При <i>CCR1_EN</i> = 0	При <i>CCR1_EN</i> = 1
000 [0]	Всегда «0»	Всегда «0»
001 [1]	«1» при $CNT = CCR$	«1» при $CNT = CCR$ или $CNT = CCR1$
010 [2]	«0» при $CNT = CCR$	«0» при $CNT = CCR$ или $CNT = CCR1$
011 [3]	Инверсия при $CNT = CCR$	Инверсия при $CNT = CCR$ или $CNT = CCR1$
100 [4]	Всегда «0»	Всегда «0»
101 [5]	Всегда «1»	Всегда «1»
110 [6]	Прямой счет ( $DIR = 0$ ): «1» при $CNT < CCR$ ; «0» при $CNT \geq CCR$ . Обратный счет ( $DIR = 1$ ): «1» при $CNT \leq CCR$ ; «0» при $CNT > CCR$ .	Прямой счет ( $DIR = 0$ ): «0» при $CNT \leq CCR \vee CNT \geq CCR1$ ; «1» при $CCR < CNT < CCR1$ . Обратный счет ( $DIR = 1$ ): «1» при $CNT \leq CCR \vee CNT \geq CCR1$ ; «0» при $CCR < CNT < CCR1$ .
111 [7]	Прямой счет ( $DIR = 0$ ): «0» при $CNT < CCR$ ; «1» при $CNT \geq CCR$ . Обратный счет ( $DIR = 1$ ): «0» при $CNT \leq CCR$ ; «1» при $CNT > CCR$ .	Прямой счет ( $DIR = 0$ ): «1» при $CNT \leq CCR \vee CNT \geq CCR1$ ; «0» при $CCR < CNT < CCR1$ . Обратный счет ( $DIR = 1$ ): «0» при $CNT \leq CCR \vee CNT \geq CCR1$ ; «1» при $CCR < CNT < CCR1$ .

Для формирования прямоугольных импульсов достаточно использовать только один регистр сравнения (т.е. *CCR1\_EN* = 0). При этом **формат 6** выбирают при **пилообразном опорном сигнале** с таймера (однонаправленный счет со сбросом, рисунок 7.5), а **формат 7** – при **треугольном опорном сигнале** (двунаправленный счет). Первый вариант используется гораздо чаще; он также проще для понимания, поэтому далее речь пойдет именно о нем.

**6. Конфигурация линий каналов** также выполняется через набор регистров *MDR\_TIMERx->CHy\_CNTRL1*, где *x* – номер таймера, *y* – номер канала (таблица 7.3).

Таблица 7.3 – Описание регистров *MDR\_TIMERx->CHy\_CNTRL1*

№ битов	Функциональное имя битов	Описание
31...13	–	–
12	NINV	Инверсия инверсной линии: 0 – линия не инвертируется; 1 – линия инвертируется.
11...10	NSELO[1:0]	Режим работы инверсной линии: 00 – на линии всегда «0»; 01 – на линии всегда «1»; 10 – на линии сигнал <i>REF</i> ; 11 – на линии сигнал <i>DTG</i> .

9...8	NSELOE[1:0]	Разрешение генерации выходного сигнала на инверсной линии: 00 – запрещена; 01 – разрешена; 10 – определяется сигналом <i>REF</i> ; 11 – определяется сигналом <i>DTG</i> .
7...5	–	–
4	INV	Инверсия прямой линии: 0 – линия не инвертируется; 1 – линия инвертируется.
3...2	SELO[1:0]	Режим работы прямой линии: 00 – на линии всегда «0»; 01 – на линии всегда «1»; 10 – на линии сигнал <i>REF</i> ; 11 – на линии сигнал <i>DTG</i> .
1...0	SELOE[1:0]	Разрешение генерации выходного сигнала на прямой линии: 00 – запрещена; 01 – разрешена; 10 – определяется сигналом <i>REF</i> ; 11 – определяется сигналом <i>DTG</i> .

Данный регистр позволяет настроить обе линии каждого канала: **прямую и инверсную**. Для управления большинством устройств вполне **достаточно одной линии**; две линии с противофазными сигналами требуются лишь для управления двигателями.

Для каждой линии может быть настроено три параметра: **разрешение генерации выходного сигнала, выбор сигнала и инверсия сигнала**.

Разрешение генерации выходного сигнала, как видно из таблицы 7.3, может быть статическим (разрешена или запрещена), а может быть динамическим – зависеть от сигналов *REF* или *DTG*. В большинстве случаев применимо статическое разрешение.

В качестве режима работы линии для генерации прямоугольных импульсов следует выбрать настроенный прежде сигнал *REF* формата 6.

В инверсии сигнала обычно нет потребности; целесообразность ее использования определяется конкретикой управляемой системы.

Из этих соображений конфигурация линий канала может выглядеть так:

```
// Конфигурация линий канала таймера
// Прямая линия
MDR_TIMER1->CH1_CNTRL1 =
    (1 << TIMER_CH_CNTRL1_SELOE_Pos) // Выходной сигнал на прямой линии (разрешен)
| (2 << TIMER_CH_CNTRL1_SELO_Pos)   // Режим работы прямой линии (REF)
| (0 << TIMER_CH_CNTRL1_INV_Pos)    // Инверсия прямого линии (отсутствует)

// ...Инверсная линия
| (0 << TIMER_CH_CNTRL1_NSELOE_Pos) // Выходной сигнал на инверсной линии (запрещен)
| (0 << TIMER_CH_CNTRL1_NSELO_Pos)  // Режим работы инверсной линии (отключена)
| (0 << TIMER_CH_CNTRL1_NINV_Pos);  // Инверсия инверсной линии (отсутствует)
```

**7. Конфигурация регистров сравнения** производится через набор регистров MDR\_TIMERx->CHy\_CNTRL2, где x – номер таймера, y – номер канала (таблица 7.4).

Таблица 7.4 – Описание регистров MDR\_TIMERx->CHy\_CNTRL2

№ битов	Функциональное имя битов	Описание
31...4	–	–
3	CCRRLD	Режим обновления регистров <i>CCR</i> и <i>CCR1</i> : 0 – мгновенное обновление; 1 – обновление после перезагрузки.
2	CCR1_EN	Разрешение работы регистра <i>CCR1</i> : 0 – запрещена; 1 – разрешена.
1...0	CHSEL1[1:0]	Выбор события для фиксации значения основного счетчика <i>CNT</i> в регистр <i>CCR1</i> : 00 – передний фронт на конфигурируемом канале; 01 – задний фронт на конфигурируемом канале; 10 – передний фронт на других каналах (вариант 1); 11 – передний фронт на других каналах (вариант 2).

Регистр сравнения *CCR1*, как уже говорилось, излишен при формировании импульсов. Обновление регистров сравнения лучше осуществлять при очередной перезагрузке таймера, чтобы не было ситуации, при которой в последовательность попадают импульсы случайной ширины:

```
// Конфигурация регистров сравнения
MDR_TIMER1->CH1_CNTRL2 =
    (0 << TIMER_CH_CNTRL2_CHSEL1_Pos) // Событие для фиксации значения регистра CCR1 (-)
| (0 << TIMER_CH_CNTRL2_CCR1_EN_Pos) // Использование регистра CCR1 (не используется)
| (1 << TIMER_CH_CNTRL2_CCRRLD_Pos); // Обновление регистров сравнения (при перезагрузке)
```

Затем следует записать соответствующее требуемому коэффициенту заполнения значение в регистр *CCR*. Это значение должно составлять какую-то часть периода перезагрузки таймера, поэтому для его вычисления целесообразно использовать макрос, описанный в конце раздела 7.3.1:

```
// Коэффициент заполнения (в процентах)
#define DUTY_CYCLE 70

// Частота широтно-импульсной модуляции (в Гц)
#define PULSE_FREQUENCY 10000

// Вычисление ширины импульсов (в отсчетах таймера),
// и запись вычисленного значения в регистр сравнения CCR
MDR_TIMER1->CCR1 = PULSE_PERIOD(PULSE_FREQUENCY) * DUTY_CYCLE / 100;
```

Здесь необходимо отметить, что MDR\_TIMER1->CCR1 – это регистр *CCR* первого канала; для второго канала такой регистр именуется MDR\_TIMER1->CCR2 и т.д.

Также следует иметь в виду один нюанс: если требуется получить коэффициент заполнения равный 100%, то такой расчет приведет к тому, что значения *CCR* и *ARR*

будут равны. При этом, согласно таблице 7.2, в момент равенства этих значений на линии канала будет логический ноль. Из-за этого фактический сигнал будет не постоянным высоким, как ожидается, а иметь однократные провалы (рисунок 7.7).

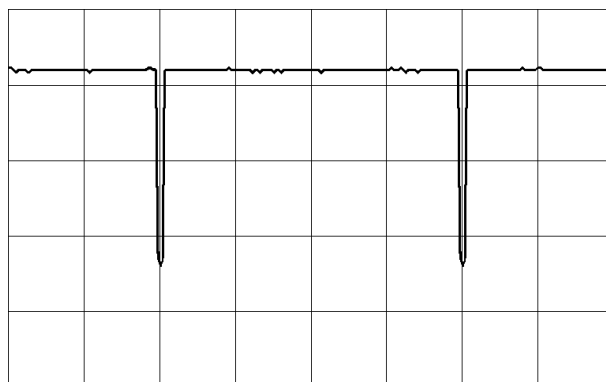


Рисунок 7.7 – Осциллограмма импульсов при  $CCR = ARR$

Чтобы такого не происходило и заполнение сигнала было полным следует задать значение  $CCR$  хотя бы на единицу больше, чем  $ARR$ :

```
// Исключение однократных провалов
if (DUTY_CYCLE == 100)
    MDR_TIMER1->CCR1 = PULSE_PERIOD + 1;
```

В завершение инициализации остается лишь запустить работу таймера:

```
// Запуск таймера
MDR_TIMER1->CNTRL |= (1 << TIMER_CNTRL_CNT_EN_Pos);
```

### 7.3.3. Мертвая зона

Как уже было отмечено, инверсные линии каналов обычно используются для управления двигателями. При этом прямая и инверсная линии должны работать в противофазе, т.е. в то время, когда на прямой линии высокий уровень напряжения на инверсной линии должен быть низкий, и наоборот (рисунок 7.8а).

Однако из-за различных задержек и помех фронты одной из линий могут сместиться, что приведет к появлению временных интервалов, в течение которых на обеих линиях будет одинаковый уровень сигнала, в частности – высокий. В этом случае через двигатель будет протекать так называемый *сквозной ток* или *ток утечки*.

Чтобы этого не происходило создается специальная задержка между фронтами импульсов на прямой и инверсной линиях (рисунок 7.8б). Такая задержка называется **мертвой зоной** или **мертвым временем**, а узел, ее создающий, традиционно называется **генератором мертвого времени** (англ. Dead-Time Generator, **DTG**).

Длительность мертвой зоны зависит от частоты импульсов и особенностей системы; она должна выбираться так, чтобы гарантировать отсутствие перекрытия высоких уровней на линиях.

Чтобы использовать DTG в микроконтроллерах серии 1986BE9х следует, во-первых, настроить регистр `MDR_TIMERx->CHy_DTG` выбранного канала, где  $x$  – номер таймера,  $y$  – номер канала (таблица 7.5).





Рисунок 7.8а – Осциллограммы импульсов на прямой и инверсной линиях без мертвой зоны

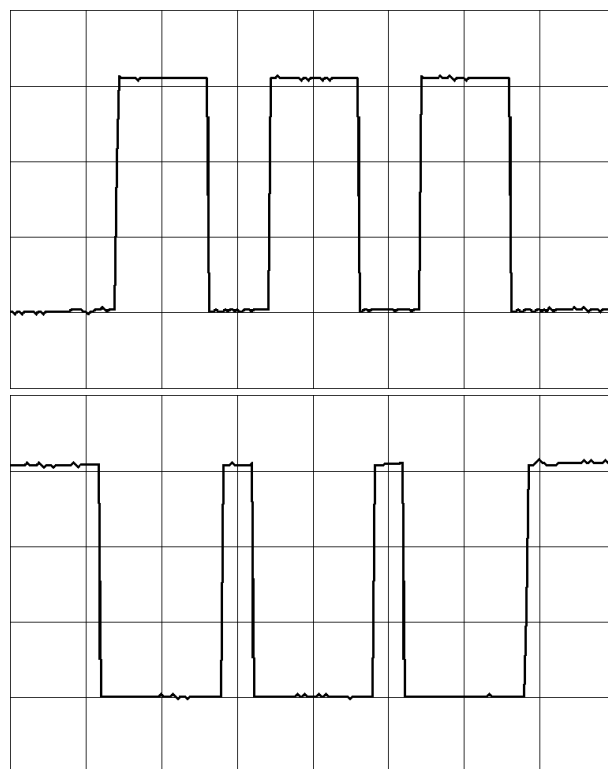


Рисунок 7.8б – Осциллограмма импульсов на прямой и инверсной линиях с мертвой зоной

Таблица 7.5 – Описание регистров MDR\_TIMERx->CHy\_DTG

№ битов	Функциональное имя битов	Описание
31...16	–	–
15...8	DTG[7:0]	Первый делитель частоты (0...255).
7...5	–	–
4	EDTS	Выбор такового сигнала: 0 – <i>TIM_CLK</i> ; 1 – <i>FDTS</i> .
3...0	DTGx[3:0]	Второй делитель частоты (0...16).

Длительность мертвой зоны в тактах определяется по формуле:

$$DTG_{delay} = DTG \times (DTGx + 1). \quad (7.11)$$

В качестве тактового сигнала при этом может быть использован либо общий сигнал для таймера *TIM\_CLK*, либо специально сформированный сигнал *FDTS*.

Для получения мертвой зоны определенной величины можно вывести такую расчетную формулу:

$$DTG \times (DTGx + 1) = \frac{TIM\_CLK \times P_{DTG}}{2 \times 100 \times F_{PWM}}, \quad (7.12)$$

где  $F_{PWM}$  – частота широтно-импульсной модуляции,

$P$  – величина мертвой зоны (в процентах от периода модуляции),

двойка в знаменателе учитывает, что расчет ведется для одной части мертвой зоны.

Таким образом, для получения 5-процентной мертвой зоны при частоте широтно-импульсной модуляции 10 КГц и тактовой частоте 80 МГц конфигурация регистра может выглядеть так:

```
// Конфигурация мертвой зоны
MDR_TIMER1->CH1_DTG =
    (0 << TIMER_CH_DTGX_Pos)      // Второй делитель частоты
| (0 << TIMER_CH_DTG_EDTS_Pos)    // Выбор тактового сигнала (TIM_CLK)
| (200 << TIMER_CH_DTG_Pos);      // Первый делитель частоты
```

И также в конфигурации линий канала нужно указать использование сигнала *DTG*:

```
// Конфигурация линий канала таймера
// Прямая линия
MDR_TIMER1->CH1_CNTRL1 =
    (1 << TIMER_CH_CNTRL1_SELOE_Pos) // Выходной сигнал на прямой линии (разрешен)
| (3 << TIMER_CH_CNTRL1_SELO_Pos)   // Режим работы прямой линии (DTG)
| (0 << TIMER_CH_CNTRL1_INV_Pos)     // Инверсия прямого линии (отсутствует)

// ...Инверсная линия
| (1 << TIMER_CH_CNTRL1_NSELOE_Pos) // Выходной сигнал на инверсной линии (разрешен)
| (3 << TIMER_CH_CNTRL1_NSELO_Pos)   // Режим работы инверсной линии (DTG)
| (0 << TIMER_CH_CNTRL1_NINV_Pos);   // Инверсия инверсной линии (отсутствует)
```

Сигнал *DTG* в данном случае – это тот же сигнал *REF*, но имеющий мертвую зону.

Следует иметь в виду, что сигнал *REF* после прохождения блока *DTG* по некоторым причинам инвертируется; при этом программно инвертировать линии обратно не следует, т.к. в этом случае мертвая зона будет представлять собой области логической единицы, а не нуля, т.е. весь смысл мертвого времени будет утрачен.

Есть еще две линии, которые уместно упомянуть в данном разделе: *BRK* и *ETR*. Эти линии не имеют непосредственного отношения к мертвой зоне, но могут быть задействованы при работе с двигателями.

Линии *BRK* и *ETR* используются для аварийной остановки двигателей; таймер при этом прекращает генерацию ШИМ, а прямая и инверсная линии переводятся в исходное состояние.

**Линия *BRK*** (англ. Brake) – это специальная аварийная линия, останавливающая работу двигателя **асинхронно** с тактовой частотой системы.

**Линия *ETR*** (англ. External Timer Reference) – позволяет останавливать двигатель **синхронно** с тактовой частотой, но помимо аварийной функции используется для работы таймера с внешней частотой.

Для остановки двигателя может быть использована любая из этих линий. Для этого соответствующей ей порт должен быть правильно сконфигурирован, а в регистре MDR\_TIMERx->CHU\_CNTRL (таблица 7.1) должна быть разрешена обработка сигнала с линии. В дополнение может быть настроен регистр MDR\_TIMERx->BRKETR\_CNTRL (стр. 301 Спецификации), но это не критично.

## Описание программных проектов

Для корректного исполнения программных проектов требуется подключить модуль расширения к отладочной плате согласно таблице 7.6.

Таблица 7.6 – Подключение модуля расширения к отладочной плате

№ п/п	Модуль расширения		Отладочная плата	
	Имя контакта	Имя разъема	Имя контакта	Имя разъема
1	GND	XP3	1	X27
2	3V3		3	
3	VT_GATE		25	
4	SHAFT		10	X26

Проект **Sample 7.1** производит настройку таймера для генерации широтно-импульсной модуляции; импульсы подаются лампу накаливания или вентилятор. Заполнение импульсов изменяется с помощью кнопок *UP* и *DOWN*.

Проект **Sample 7.2** также производит настройку таймера, но в комбинации с аналого-цифровым преобразователем для изменения коэффициента заполнения с использованием потенциометра.

### Задачи для самостоятельной работы

[проект *Sample 7.1*]

1. Найдите минимальную частоту широтно-импульсной модуляции, при которой мигание лампы не будет заметно ни прямым, ни периферийным зрением.

2. Найдите максимальную частоту широтно-импульсной модуляции, при которой форма импульсов становится треугольной при коэффициенте заполнения  $D = 20\%$ , но сохраняется полная амплитуда – 3.3 В.

Сигнал следует измерять на истоке транзистора (средняя ножка), учитывая при этом, что он будет инвертирован. Объясните причину инверсии.

[проект *Sample 7.2*]

3. Модифицируйте проект таким образом, чтобы при повороте ручки потенциометра изменялась частота импульсов по экспоненциальному закону в диапазоне от 20 Гц до 20 КГц.

### **Контрольные вопросы**

1. Что такое широтно-импульсная модуляция?
2. Как выбрать частоту широтно-импульсной модуляции?
3. Как скважность импульсов влияет на мощность, подводимую к нагрузке?
4. Чем различаются понятия скважности и коэффициента заполнения?
5. Какими средствами реализуется широтно-импульсная модуляция с применением микроконтроллеров?
6. Сколько каналов широтно-импульсной модуляции можно реализовать на базе микросхем серии 1986BE9х?
7. Что такое мертвая зона?